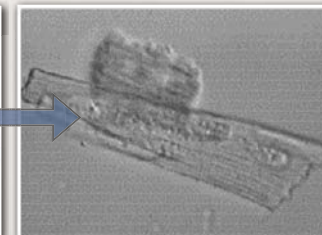


# DINAMIKUS FEHÉRJERENDSZEREK A SEJTBEN

KELLERMAYER MIKLÓS

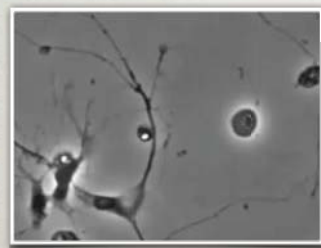
## BIOLÓGIAI MOZGÁSOK



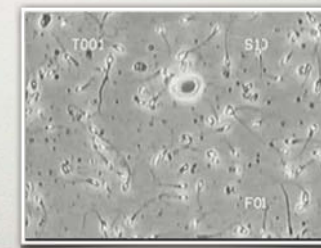
Ritmusosan összehúzódó szívizomsejt



Osztódó sejt

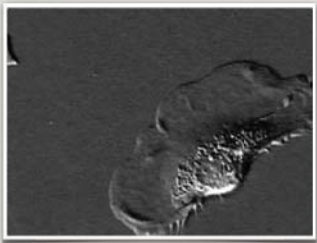


Axon (neurit) növekedés



Mozgó spermátociták

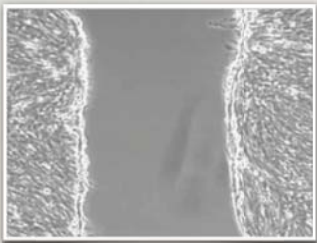
## BIOLÓGIAI MOZGÁSOK



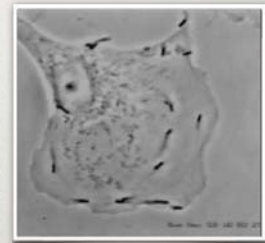
Tovakúszó keratinocita



Kemotaxis



Sebgyógyulás modell - fibroblasztok kollektív mozgása



Listeria baktériumok intracelluláris mozgása

## A citoskeletális rendszer

Intracelluláris dinamikus fehérje vázrendszer

Három fő filamentum-osztály:

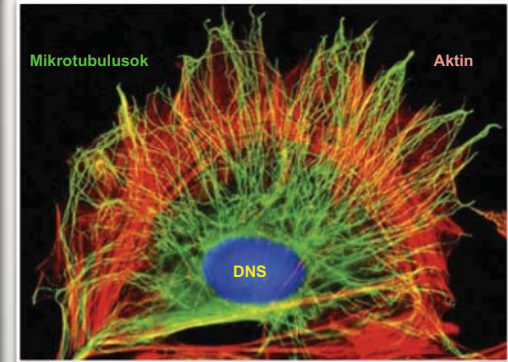
- A. Vékony (aktin)
- B. Intermedier
- C. Mikrotubulus

Filamentumok mechanikája fontos

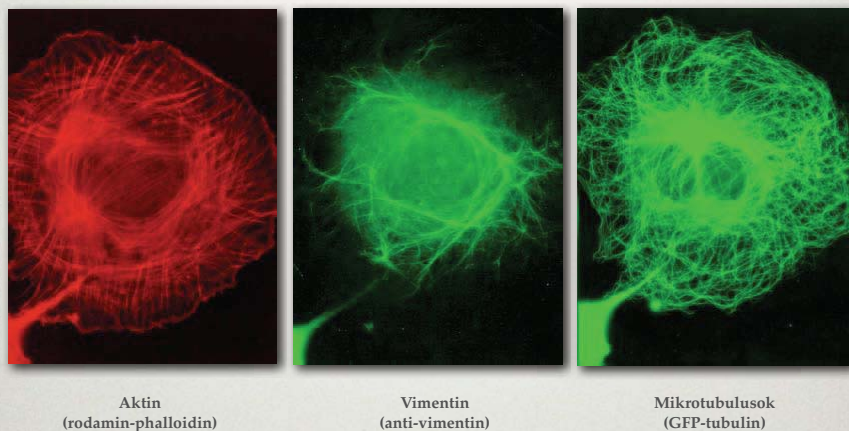
Polimerizáció: "okos téglá" alegységekből

Szerep:

- A. Mozgás, alakváltozás
- B. Sejtosztódás
- C. Intracelluláris transzport



# A citoszkeletális rendszer



1. Mechanika
2. Polimerizáció

# A citoszkeletális filamentumok rugalmassága

## Hook-féle rugalmasság

A rugó- (vagy merevségi) állandó ( $k=F/\Delta L$ ) nem anyagfüggő paraméter.

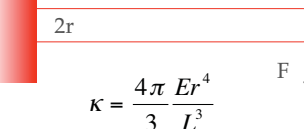
- A rugóállandó ( $k$ ) függ a test alaki paramétereitől, az erő irányától, és azt mutatja meg, hogy egységnyi megnyúlást mekkora erő idéz el.

Longitudinális merevség:



$$\kappa = \frac{F}{\Delta L} = \frac{EA}{L}$$

Hajlítómerevség:



$$\kappa = \frac{4\pi Er^4}{3L^3}$$

## "Termikus" rugalmasság

A polimerlánc átlagos leírható egyszerű paraméterek segítségével:

$$\langle R^2 \rangle = 2L_p L$$

A perzszizációhoz a lánc hajlítómerevségével áll összefüggésben:  
minél rövidebb  $L_p$ , annál hajlékonysabb a lánc, és megfordítva.

$$L_p = \frac{EI}{k_B T}$$

$EI$  = hajlítómerevség  
 $E$ =Young modulus  
 $I$ =hajlítási tehetetlenségi nyomaték (körkeresztmetszetű rúd esetében  $I=r^4\pi/4$ )  
 $k_B$ =Boltzmann állandó  
 $T$  = abszolút hőmérséklet.

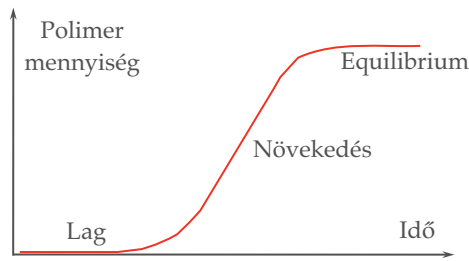


# Polimerizáció

## Alegységek összeállásának folyamata

### A polimerizáció fázisai:

1. Lag fázis: nukleáció
2. Növekedés fázisa
3. Equilibrium (egyensúly) fázisa

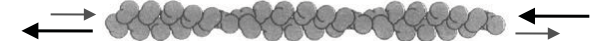
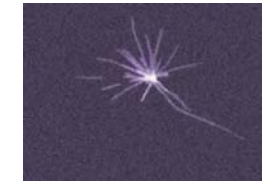


# Polimerizációs egyensúlyok

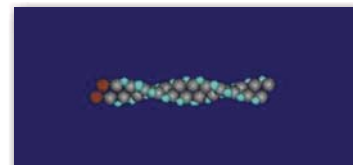
## 1. valódi equilibrium



## 2. dinamikus instabilitás: folyamatos, lassú növekedést követő katasztrofikus depolimerizáció

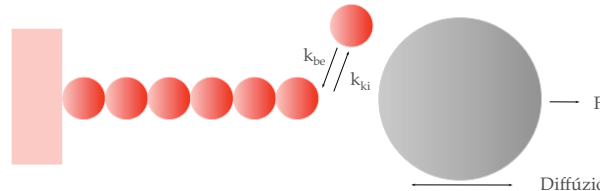
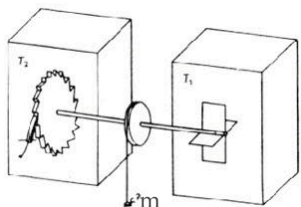


## 3. Treadmilling: taposómalom



## Erőkifejtés citoszkeletális filamentum polimerizációjával

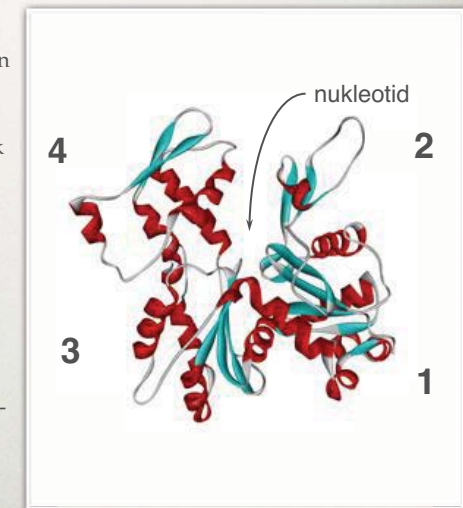
Brown-féle kilincskerék mechanizmus



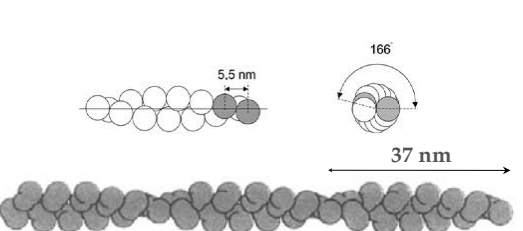
## Az aktin monomer (G-aktin)

Az eukarióta sejtekben legnagyobb mennyiségben előforduló fehérje (az összfehérje 5%-a)  
Koncentrációja a sejtből: 2-8 mg / ml (50-200  $\mu$ M)  
[G-aktin oldat esetére ez 25 nm átlagot molekulákat közötti távolságot jelent]

Alegység: globuláris (G-) aktin  
MW: 43 kDa, 375 aminosav,  
1 molekula kötött adenozin nukleotid (ATP vagy ADP)  
Szubdomének (4)  
Genetikai variabilitás: emlősökben 6 különböző aktin, három családban ( $\alpha$  izomeredetű,  $\beta$ ,  $\gamma$  nem-izomeredetű)



## Az aktin filamentum (F-aktin)



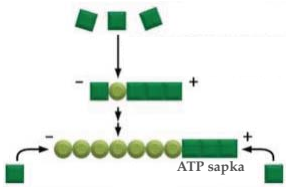
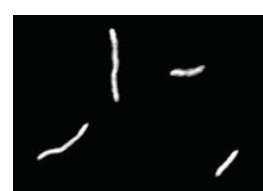
~7 nm vastag, hossza *in vitro* több 10  $\mu$ m, *in vivo* 1-2  $\mu$ m

Jobbmenetes dupla helix. Szerkezetileg polarizált

Szemiflexibilis polímerlánc (perzisztenciahossz: ~10  $\mu$ m)

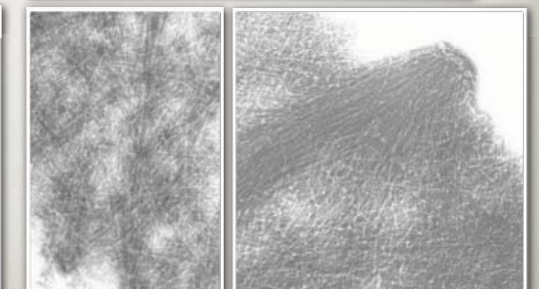
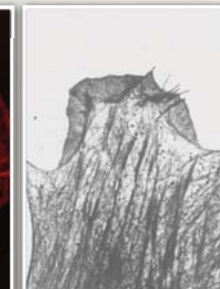
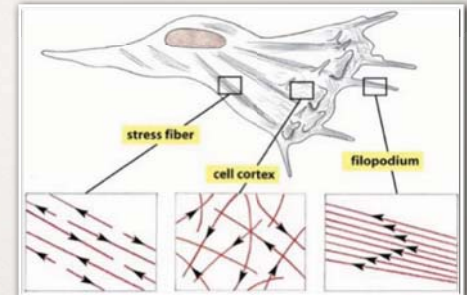
Szerkezeti polarizáció ("szöges", "hegyes" vég)

Aszimmetriás polimerizáció: ATP sapka



## Aktin a sejtből

cortex (a sejt pereme)  
"stress" rostok,  
sejtnyúlványok (lamellipodia, filopodia,  
microspikes, focal contacts, invagináció)  
mikrovillus

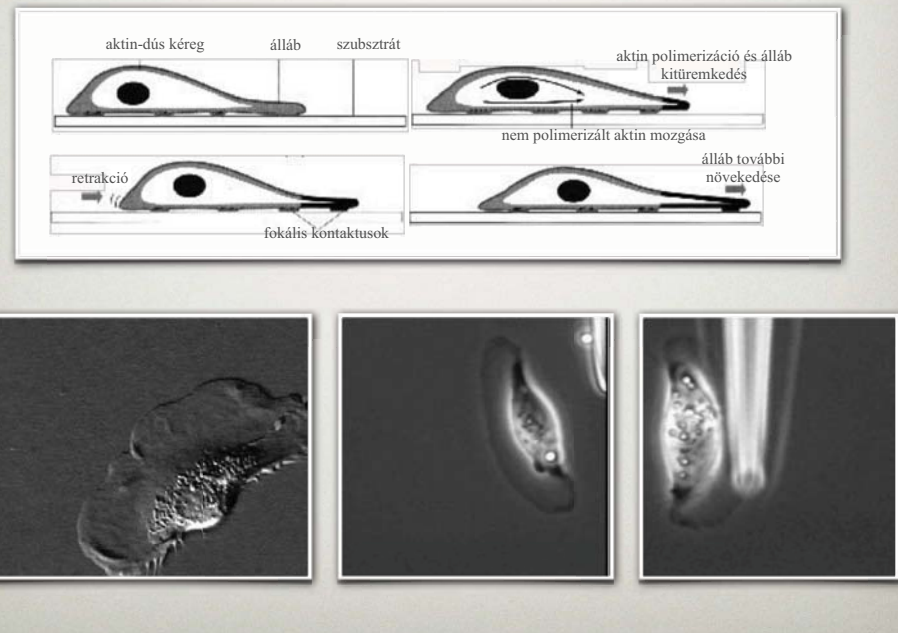


Stress rostok

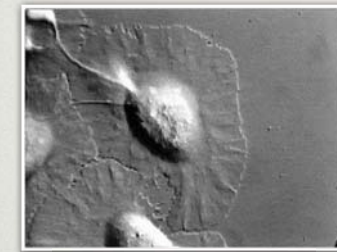
cortex

filopodium

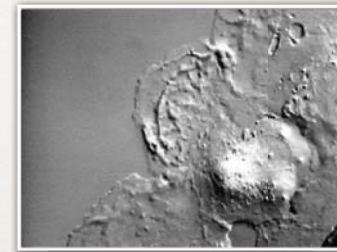
## Aktin-függő sejtmozgás



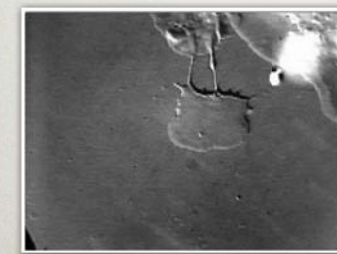
## Aktin-függő sejtmozgás megnyilvánulásai



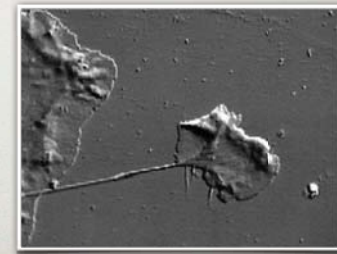
Retrográd áramlás



Filopodium képződési dinamika

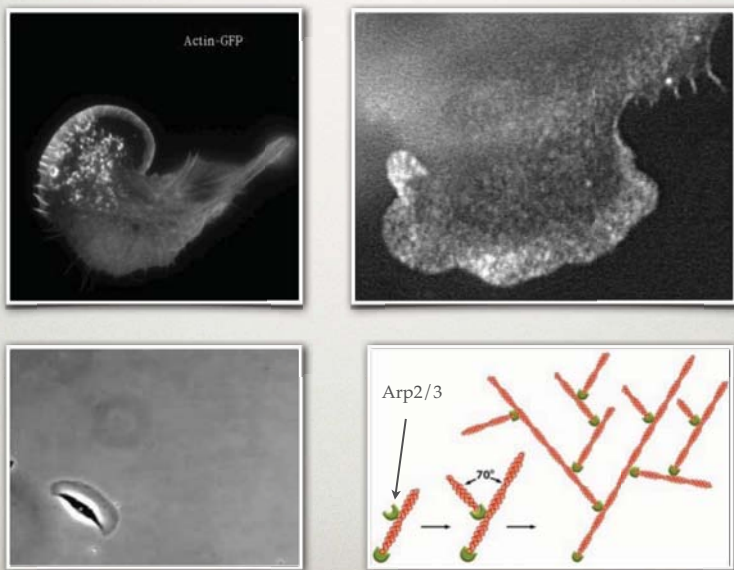


Citoplazst (anukleáris sejtfragmentum)  
autonóm mozgása

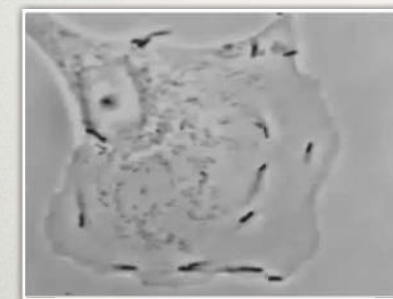


Membrán fodrozódás

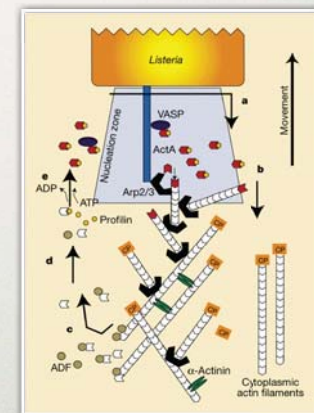
## Aktin dinamika a lamellipodiumban



## Intracelluláris patogének is kihasználják az aktin rendszert

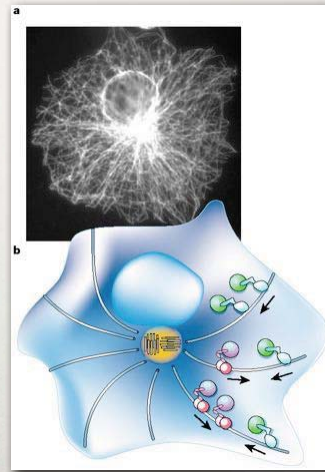
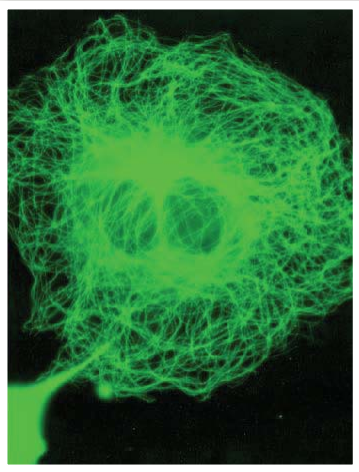


Listeria monocytogenes intracelluláris motilitása

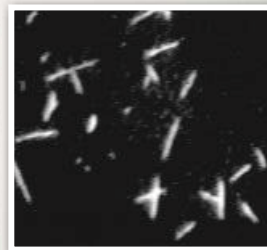
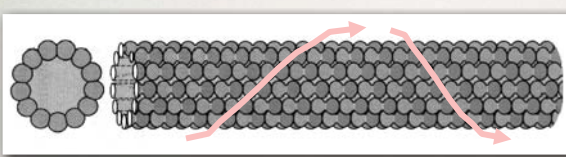


# Mikrotubuláris rendszer

Eukarióta sejtek tubulinból  
és kapcsolódó fehérjékből álló rendszere.



## A mikrotubulus



~25 nm vastag, üreges

13 protofilamentum

jobbmennetű rövidmenetű helix

bálmennetű hosszúmenetű helix

Merev polimerlánc (perzisztenciahossz: néhány mm!)

Szerkezeti polarizáció:

+vég: polimerizáció gyors,  $\beta$ -alegység által terminált

-vég: polimerizáció lassú,  $\alpha$ -alegység által terminált

GTP-sapka

## A mikrotubulusok építőköve: tubulin

Alegység: tubulin

Idegszövetben az összfehérje 10-20%-a

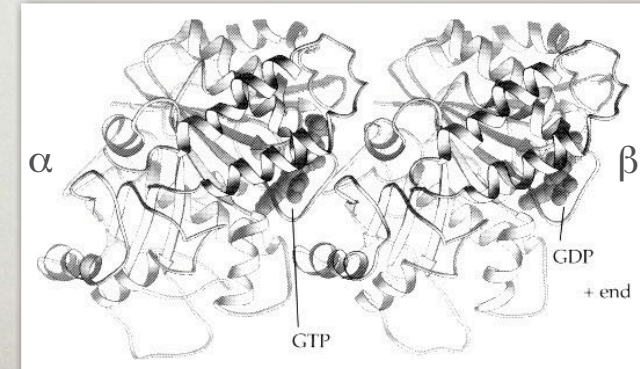
MW: ~50 kD:  $\alpha$ - és  $\beta$ -tubulin -> heterodimér

1 molekula kötött guanozin nukleotid (GTP vagy GDP);

kicserélhető ( $\beta$ ), illetve nem kicserélhető ( $\alpha$ )

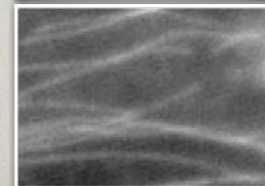
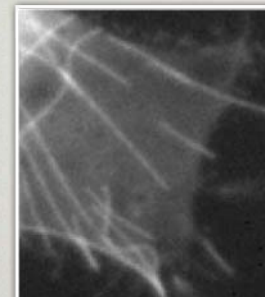
Szerkezeti polaritás

Genetikai variabilitás: legalább 6 különböző  $\alpha$  illetve  $\beta$  tubulin

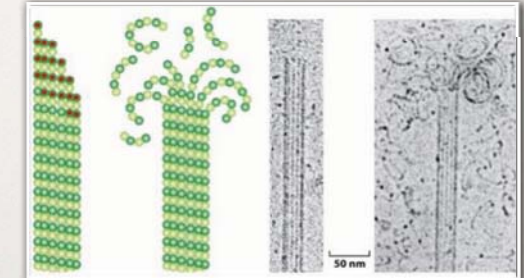


## Polimerizációs egyensúlyok mikrotubulusokban

Treadmilling



Dinamikus instabilitás



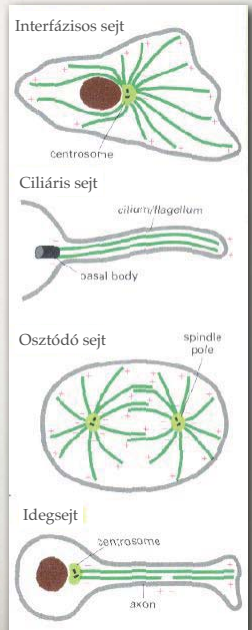
## Mikrotubuláris rendszer az eukarióta sejtben

### Hol található az eukarióta sejtben?

interfázisos sejt cytoplasmája, axon, cilium, flagellum, osztódó sejt húzóorsója.

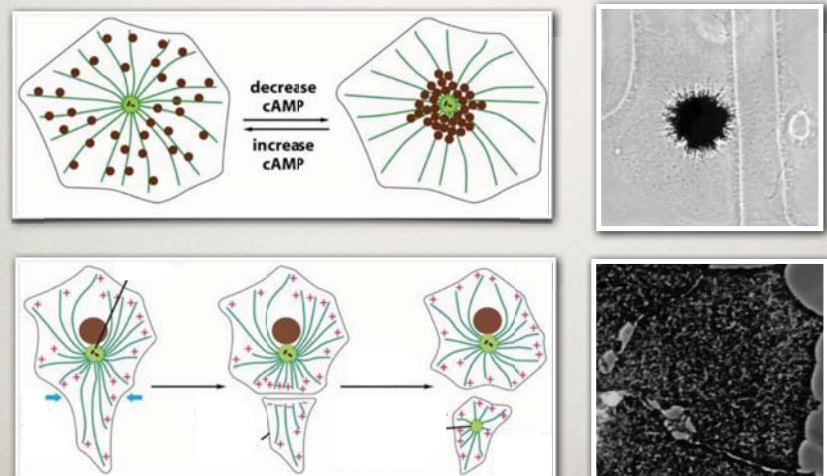
### Polaritás a sejten belül

centrosomában -vég, a periférián +vég.  
Centrosoma: 2 centriolum, centrosoma matrix, benne  $\gamma$ -tubulin  
Sejt polaritás "fixálása" MT asszociált fehérék (capping protein) segítségével.



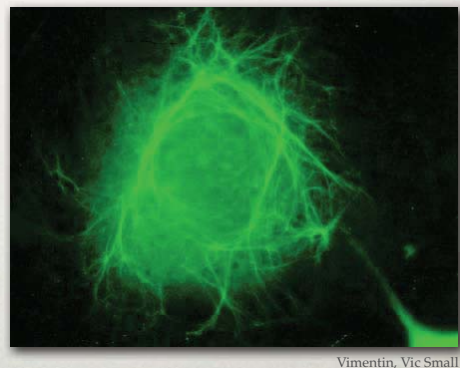
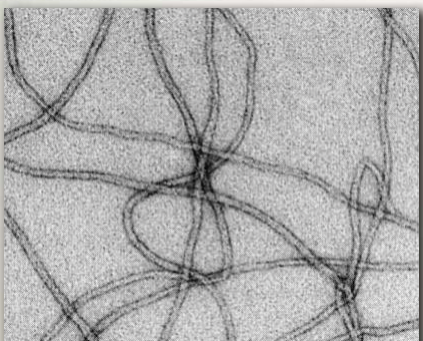
## Mikrotubuláris rendszer fükcíói

1. Autópályák motorfehérjék számára
2. Érzékeli, monitorozza és megtalálja a sejt geometriai középpontját
3. Motilitási funkciók (sejtosztódás)



## Intermedier filamentális rendszer

8-10 nm átmérőjű szövetspecifikus, filamentális fehérjerendszer, mely a legtöbb (de nem minden) állati sejtben megtalálható.  
Alapvető szerep: mechanikai ellenállás biztosítása



## Intermedier filamentum építőkövek

### Intermedier filamentum dimer:



### Tulajdonságok:

- Kémiailag ellenálló (detergensek, magas ionerősség)
- Denaturáló szerekkel (pl. urea) extrahálható
- Fibrózus monomer (nem globuláris, mint az aktin vagy tubulin)
  - amino-terminális fej
  - centrális rúd ( $\alpha$ -hélix, heptád ismétlődés)
  - carboxy-terminális farok
  - a szövetspecifikus monomérek egymástól a végeik szerkezetében különböznek

## Az intermedier filamentum alegysége: „coiled-coil” dimer

Heptád ismétlődés szerkezet, hidrofób aminosavak



Vimentin dimer szalagdiagramja



Vimentin dimer drótháló diagramja

## Intermedier filamentumok polimerizációja

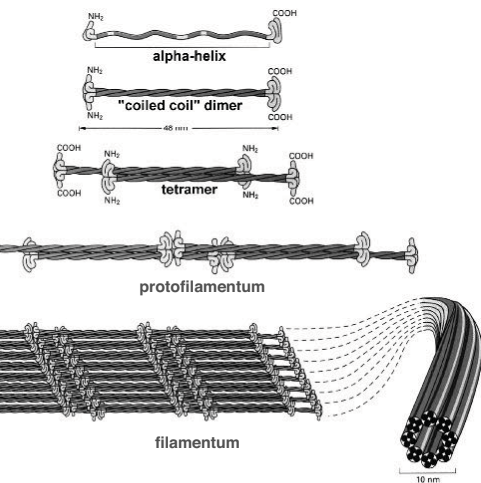
A sejtből teljesen polimerizált állapotban (nem dinamikus egyensúly)

Centrális rudak ( $\alpha$ -hélix) hidrofób-hidrofób kölcsönhatása  
-> coiled-coil dimer

2 dimer -> tetramer (antiparallel elrendeződés, szerkezeti apolaritás)

Tetramerek longitudinális sorozata -> protofilamentum

8 protofilamentum -> filamentum



## Intermedier filamentumok csoportosítása

Szövetspecificitás alapján  
(Klasszikus csoportosítás)

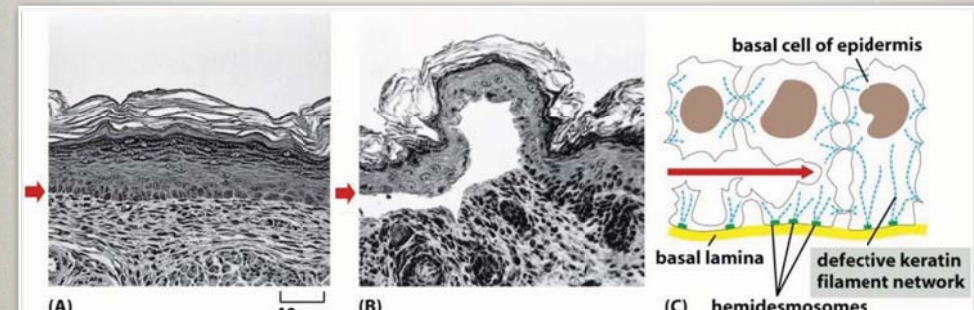
Szövet típus	Intermedier filamentum
Epithelium	Keratinok
Izom	Desmin
Mesenchyma	Vimentin
Glia	Glialis fibrillaris savanyú fehérje (GFAP)
Ideg	Neurofilamentum (NF-L, NF-M, NF-H)

## Intermedier filamentumok szöveti funkciói

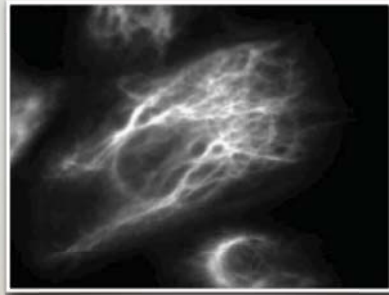
### Szövetspecificitás alapján (Klasszikus csoportosítás)

#### Epiteliális (hám-) sejtekben:

-Pathologia: *epidermolysis bullosa simplex*. Mutáció a keratin génben. Enyhe mechanikai hatásra (pl. dörzsölés) fellépő hólyagos hámszétesés.



## Dinamikus vimentin átrendeződés az élő sejtben



GFP-konjugált  
vimentin 3T3 sejtben



Egyedi filamentum  
turnover

## MOTORFEHÉRJÉK

1. Specifikus filamentumhoz kapcsolódnak.
2. Elmozdulást és erőt generálnak.
3. Kémiai energiát használnak fel.

## A motorfehérjék típusai

### 1. Aktin alapú

*Miozinok:* Konvencionális (miozin II) és nem-konvencionális  
Miozin szupercsalád (I-XXIV osztályok). Plusz vég irányába mozognak.

### 2. Mikrotubulus alapú

*a. Dineinek:* Ciliáris (flagelláris) és citoplazmáris dineinek.  
A mikrotubulus mentén a minusz vég irányába mozognak.  
*b. Kinezinek:* Kinezin szupercsalád: konvencionális és nem-konvencionális.  
A mikrotubulus mentén a plusz vég irányába mozognak.  
*c. Dinaminok:* MT-függő GTPáz aktivitás  
Biológiai szerep: vakuoláris fehérjeválogatás (pinchase enzimek)?

### 3. DNS alapú mechanoenzimek

DNS és RNS polimerázok, vírus kapszid csomagoló motor, kondenzinék  
A DNS fonal mentén haladnak és fejtenek ki erőt

### 4. Rotációs motorok

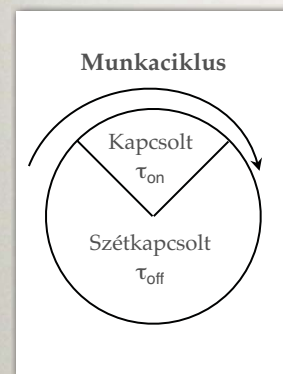
F1FO-ATP szintetáz  
Bakteriális flagelláris motor

### 5. Mechanoenzim komplexek

Riboszóma

## Motorfehérjék munkaciklusa

$$\text{"Duty ratio": } r = \frac{\delta V}{V} \quad \begin{array}{l} \delta = \text{munka- vagy lépéstartárság} \\ V = \text{ATPáz sebesség} \\ v = \text{motilitási sebesség} \end{array}$$



### Processzív motor: $r > 1$

Pl. kinezin, DNS-, RNS-polimeráz.  
Munkaciklus nagy részében kapcsolt állapotban.  
Egymaga képes a terhét továbbítani.

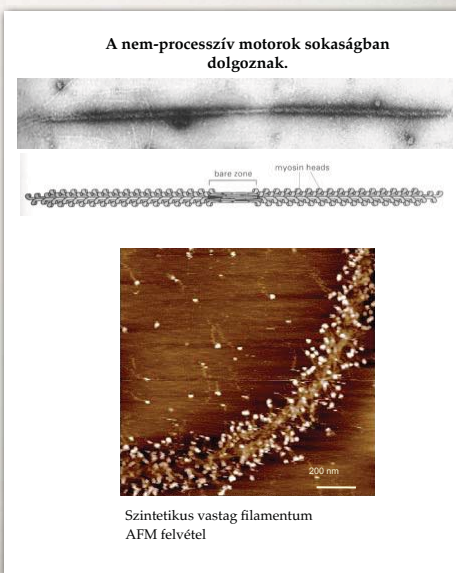
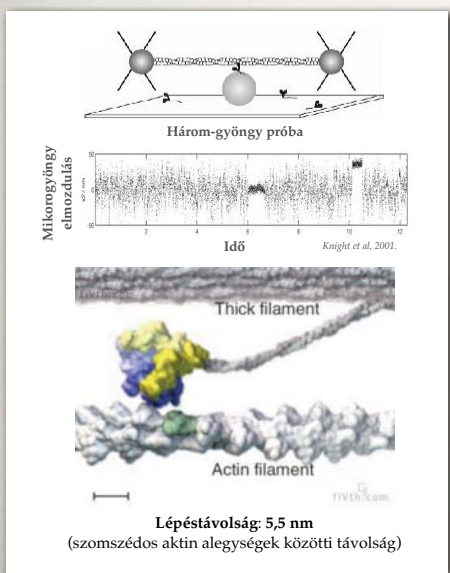
### Nonprocesszív motor: $r < 1$

Pl. miozin.  
Munkaciklus nagy részében szétkapcsolt állapotban.  
Sokaság működik együtt.

Egyetlen motorfehérje által kifejtett erő: néhány pN.

# NEM-PROCESSZÍV MOTORFEHÉRJÉK

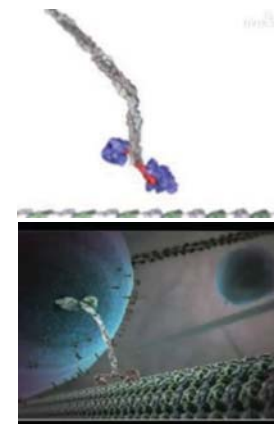
## Miozin



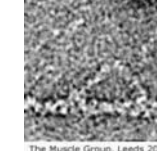
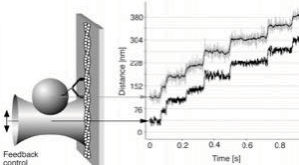
# PROCESSZÍV MOTORFEHÉRJÉK

## Kinezin

Lépéstandúság: 8 nm ( minden második tubulin alegység közötti távolság)

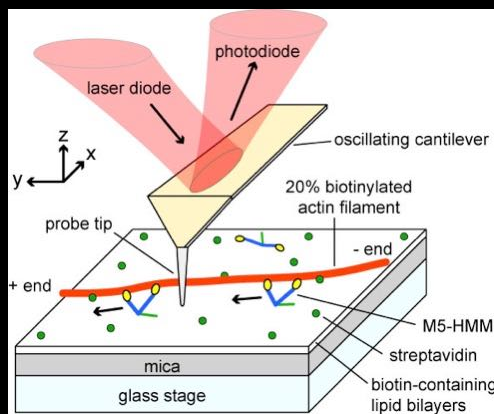


## Miozin V

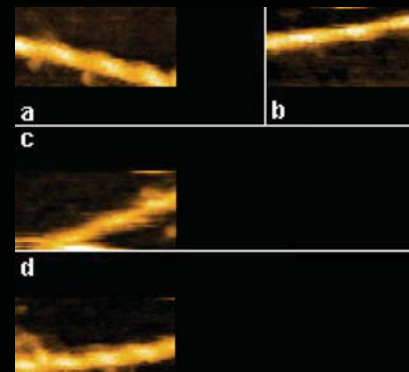


A processzív motorok egyedül dolgoznak.

## Ultragyors AFM mérések a miozin V-HMM molekulán



## Egyirányú processzív mozgás



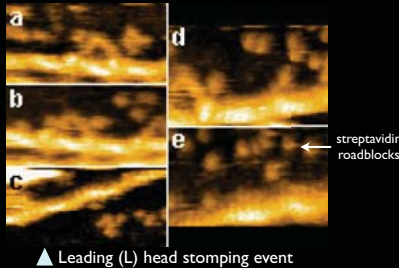
- Stomping:
- Rapid detachment-reattachment
- ~5 nm translocation

▲ Trailing (T) head stomping event

▲ Leading (L) head stomping event

# Intramolekuláris változások

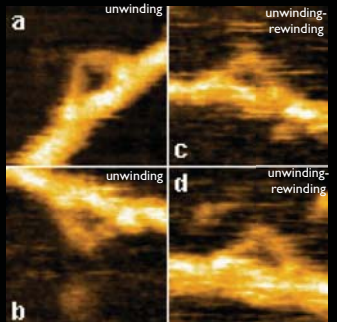
Hand-over-hand stepping



“Straight” - “sharp bend” transition

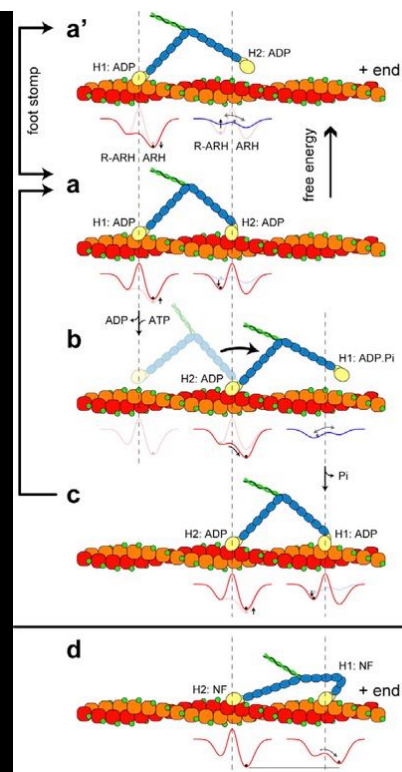


Coiled-coil tail unwinding

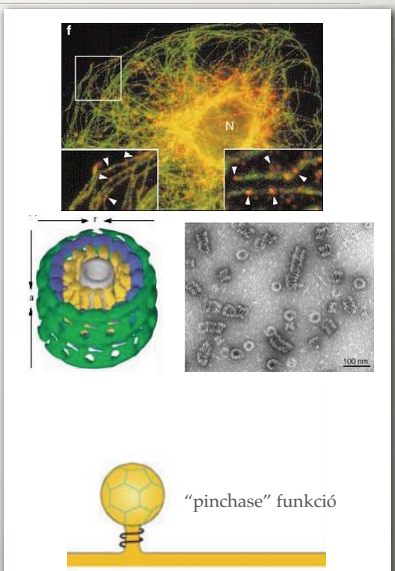
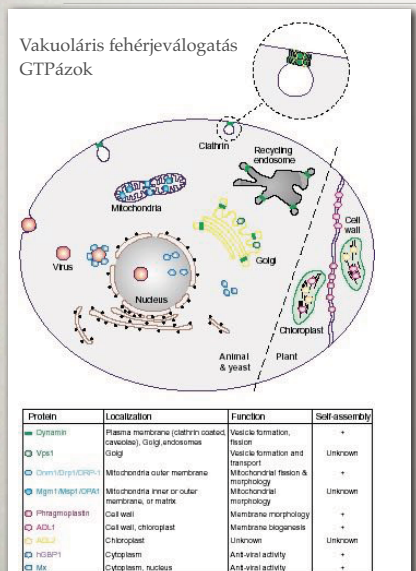


# Lépései mechanizmus

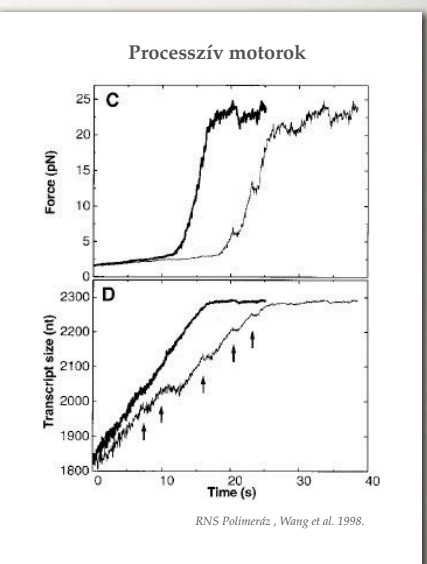
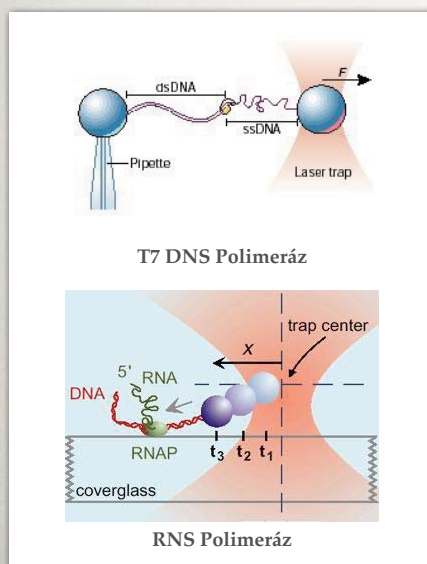
- a. Initial state, both heads in the ADP state.
- a'. Stomping, in equilibrium with the bound state.
- b. ADP release, ATP binding, trailing-head detachment, L-head swing (completion of power-stroke), T-head “rotational diffusion” ( $\rightarrow$  L-head), L-head in the ADP-P<sub>i</sub> pre-stroke state.
- c. L-head attachment, P<sub>i</sub> release, 36 nm advance.
- d. Sharp bend state, only in the nucleotide-free condition.



# Dinaminok

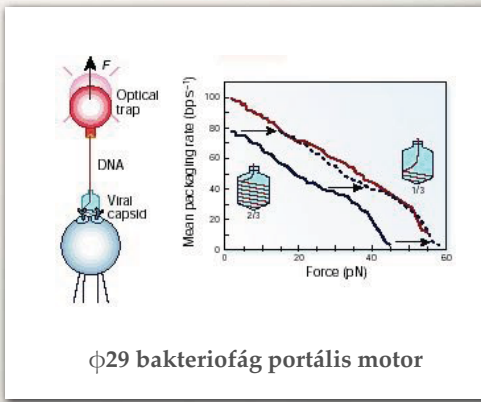
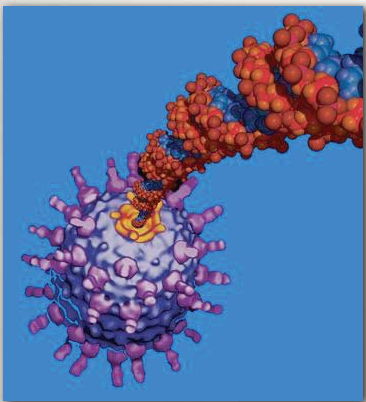


# DNS Motorok



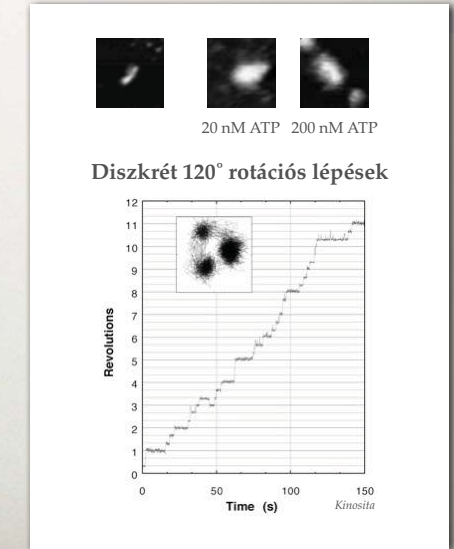
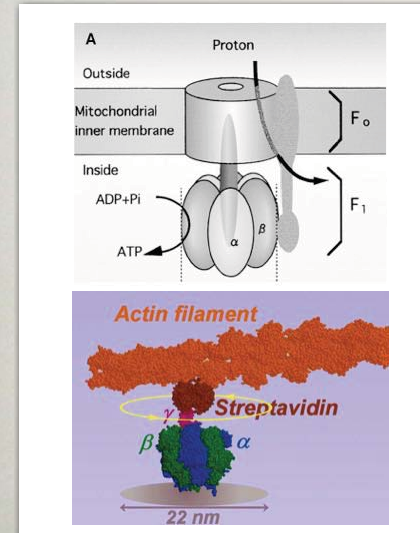
# Vírus portális motor

## Különleges DNS motor



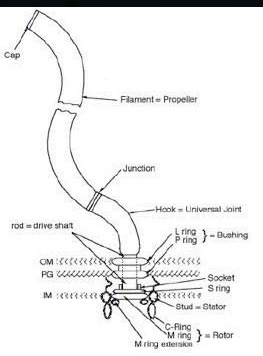
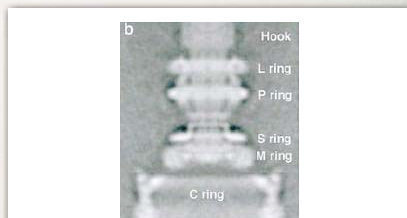
# ROTÁCIÓS MOTOROK I:

## F1F0-ATP SZINTETÁZ



# ROTÁCIÓS MOTOROK II:

## Bakteriális flagellum motor



# Mechanoenzim komplex

## Riboszóma

